

### 3 Expressões para os Campos Eletromagnéticos

Neste Capítulo são apresentados os estudos realizados para a obtenção das expressões dos campos eletromagnéticos do guia de onda cilíndrico corrugado com dielétrico anisotrópico no interior. A região interna do guia é dividida em duas: a região onde existe dielétrico (i) e a região onde não existe dielétrico (o), existindo apenas a corrugação.

Inicialmente, são obtidas as expressões para os campos na abertura para cada região: i e o. Em seguida, com os campos transversos na abertura devidos às regiões i e o, obtém-se as expressões para o campo radiado distante.

#### 3.1. Campos na Abertura

Os campos na abertura são obtidos para cada região dentro do guia. Inicialmente, encontram-se as expressões para os campos na região interna ao dielétrico anisotrópico.

##### 3.1.1. Região Dielétrica Anisotrópica ( $r \leq r_1$ )

Os campos elétrico e magnético em coordenadas cilíndricas na região dielétrica anisotrópica, são obtidos a partir dos potenciais vetores, conforme Apêndice B, cujas Equações são repetidas aqui para uma melhor compreensão:

$$E_z^i = A_n J_n(Kr) \cos(n\phi) e^{-\gamma z} \quad (3.1)$$

$$H_z^i = B_n J_n(Kr) \sin(n\phi) e^{-\gamma z} \quad (3.2)$$

$$E_r^i = \frac{1}{K^2} \left[ \frac{\partial^2 E_z}{\partial r \partial z} - \frac{j\omega\mu_0}{r} \frac{\partial H_z}{\partial \phi} \right] \quad (3.3)$$

$$H_r^i = \frac{1}{K^2} \left[ \frac{\partial^2 H_z}{\partial r \partial z} + j\omega\epsilon_0\epsilon_{ii} \frac{1}{r} \frac{\partial E_z}{\partial \phi} \right] \quad (3.4)$$

$$E_{\phi}^i = \frac{1}{K^2} \left[ \frac{1}{r} \frac{\partial^2 E_z}{\partial \phi \partial z} + j\omega\mu_0 \frac{\partial H_z}{\partial r} \right] \quad (3.5)$$

$$H_{\phi}^i = \frac{1}{K^2} \left[ \frac{1}{r} \frac{\partial^2 H_z}{\partial \phi \partial z} - j\omega\varepsilon_0\varepsilon_r \frac{\partial E_z}{\partial r} \right] \quad (3.6)$$

Substituindo  $E_z$  e  $H_z$  na Equação (3.3), tem-se:

$$E_r^i = \frac{1}{K^2} \left[ \frac{\partial^2 (A_n J_n(Kr) \cos(n\phi) e^{-\gamma z})}{\partial r \partial z} - \frac{j\omega\mu_0}{r} \frac{\partial (B_n J_n(Kr) \sin(n\phi) e^{-\gamma z})}{\partial \phi} \right] \quad (3.7)$$

que pode ser reorganizada como:

$$E_r^i = -\frac{1}{K^2} \left[ \gamma A_n K J'_n(Kr) \cos(n\phi) e^{-\gamma z} + n \frac{j\omega\mu_0}{r} B_n J_n(Kr) \cos(n\phi) e^{-\gamma z} \right] \quad (3.8)$$

onde

$$\frac{d(J_n(Kr))}{dr} = K \cdot \frac{dJ_n(Kr)}{dr} = K J'_n(Kr) \quad (3.9)$$

Considerando que

$$K^2 = \omega^2 \mu_0 \varepsilon_0 \varepsilon_{zi} + \gamma^2 \quad (3.10)$$

$K$  é o número de onda no meio  $i$ ,  $y_0$  é a admitância intrínseca do ar dada por:

$$y_0 = \frac{1}{Z_0} = \sqrt{\frac{\varepsilon_0}{\mu_0}} \quad (3.11)$$

o campo elétrico na direção  $r$ , pode ser escrito como:

$$E_r^i = -\frac{1}{K^2} \left[ \gamma K A_n J'_n(Kr) + \frac{jk_0 n}{y_0 r} B_n J_n(Kr) \right] \cos n\phi e^{-\gamma z} \quad (3.12)$$

Substituindo  $E_z$  e  $H_z$  na equação (3.5), tem-se:

$$E_\phi^i = \frac{1}{K^2} \left[ \frac{1}{r} \frac{\partial^2 (A_n J_n(Kr) \cos(n\phi) e^{-\gamma Z})}{\partial \phi \partial z} + j\omega\mu_0 \frac{\partial (B_n J_n(Kr) \sin(n\phi) e^{-\gamma Z})}{\partial r} \right] \quad (3.13)$$

que pode ser reorganizado como :

$$E_\phi^i = \frac{1}{K^2} \left[ \frac{\gamma n A_n}{r} J_n(Kr) + j\omega\mu_0 B_n K J'_n(Kr) \right] \sin(n\phi) e^{-\gamma Z} \quad (3.14)$$

Substituindo  $E_z$  e  $H_z$  na equação (3.6), tem-se:

$$H_\phi^i = \frac{1}{K^2} \left[ \frac{1}{r} \frac{\partial^2 (B_n J_n(Kr) \sin(n\phi) e^{-\gamma Z})}{\partial \phi \partial z} - j\omega\epsilon_0\epsilon_{ii} \frac{\partial (A_n J_n(Kr) \cos(n\phi) e^{-\gamma Z})}{\partial r} \right] \quad (3.15)$$

ou

$$H_\phi^i = -\frac{1}{K^2} \left[ \frac{n\gamma}{r} B_n J_n(Kr) + jk_0 y_o \epsilon_{ii} K A_n J'_n(Kr) \right] \cos(n\phi) e^{-\gamma Z} \quad (3.16)$$

Substituindo  $E_z$  e  $H_z$  na equação (3.4) tem-se:

$$H_r^i = \frac{1}{K^2} \left[ \frac{\partial^2 (B_n J_n(Kr) \sin(n\phi) e^{-\gamma Z})}{\partial r \partial z} + j\omega\epsilon_0\epsilon_{ii} \frac{\partial (A_n J_n(Kr) \cos(n\phi) e^{-\gamma Z})}{r \partial \phi} \right] \quad (3.17)$$

Ou, resolvendo as derivadas:

$$H_r^i = -\frac{1}{K^2} \left[ \gamma K B_n J'_n(Kr) + \frac{jk_0 y_o \epsilon_{ii} n A_n}{r} J_n(Kr) \right] \sin(n\phi) e^{-\gamma Z} \quad (3.18)$$

Assim, as expressões para os campos transversais em coordenadas cilíndricas na região dielétrica anisotrópica no interior do guia podem ser sumarizadas como:

$$E_r^i = -\frac{1}{K^2} \left[ \gamma A_n K J'_n(Kr) + n \frac{jk_0}{y_0 r} B_n J_n(Kr) \right] \cos(n\phi) e^{-\gamma z} \quad (3.19)$$

$$E_\phi^i = \frac{1}{K^2} \left[ \frac{n\gamma}{r} A_n J_n(Kr) + j \frac{k_0}{y_0} K B_n J'_n(Kr) \right] \sin(n\phi) e^{-\gamma z} \quad (3.20)$$

$$H_\phi^i = -\frac{1}{K^2} \left[ \frac{n\gamma}{r} B_n J_n(Kr) + j k_0 y_0 \epsilon_{ii} K A_n J'_n(Kr) \right] \cos(n\phi) e^{-\gamma z} \quad (3.21)$$

$$H_r^i = -\frac{1}{K^2} \left[ \gamma K B_n J'_n(Kr) + \frac{jk_0 y_0 \epsilon_{ii}}{r} n A_n J_n(Kr) \right] \sin(n\phi) e^{-\gamma z} \quad (3.22)$$

### 3.1.2. Região do Guia fora do Dielétrico ( $r_1 \leq r \leq r_0$ )

Os campos elétrico e magnético transversais na região do guia fora do dielétrico também são obtidos a partir dos potenciais vetores, conforme descrito no Apêndice B, mas, neste caso, o valor do número de onda no meio o (fora do dielétrico) é dado por:

$$K_1^2 = \omega^2 \mu_0 \epsilon_0 + \gamma^2 \quad (3.23)$$

Com esta definição, os campos na abertura para a região o (ar) podem ser escritos como:

$$E_z^o = \{C_n J_n(K_1 r) + D_n Y_n(K_1 r)\} \cos(n\phi) e^{-\gamma z} \quad (3.24)$$

$$H_z^o = \{E_n J_n(K_1 r) + F_n Y_n(K_1 r)\} \sin(n\phi) e^{-\gamma z} \quad (3.25)$$

$$E_r^o = \frac{1}{K_1^2} \left[ \frac{\partial^2 E_z}{\partial r \partial z} - \frac{j\omega\mu_0}{r} \frac{\partial H_z}{\partial \phi} \right] \quad (3.26)$$

$$H_r^o = \frac{1}{K_1^2} \left[ \frac{\partial^2 H_z}{\partial r \partial z} + j\omega\epsilon_0 \frac{1}{r} \frac{\partial E_z}{\partial \phi} \right] \quad (3.27)$$

$$E_\phi^o = \frac{1}{K_1^2} \left[ \frac{1}{r} \frac{\partial^2 E_z}{\partial \phi \partial z} + j\omega\mu_0 \frac{\partial H_z}{\partial r} \right] \quad (3.28)$$

$$H_{\phi}^o = \frac{1}{K_1^2} \left[ \frac{1}{r} \frac{\partial^2 H_z}{\partial \phi \partial z} - j\omega \epsilon_0 \frac{\partial E_z}{\partial r} \right] \quad (3.29)$$

Substituindo  $E_z$  e  $H_z$  na equação (3.26) tem-se:

$$E_r^o = \frac{1}{K_1^2} \left[ \frac{\partial^2 [C_n J_n(K_1 r) + D_n Y_n(K_1 r)] \cos(n\phi) e^{-\gamma z}}{\partial r \partial z} - \frac{j\omega \mu_0}{r} \frac{\partial [E_n J_n(K_1 r) + F_n Y_n(K_1 r)] \sin(n\phi) e^{-\gamma z}}{\partial \phi} \right] \quad (3.30)$$

ou

$$E_r^o = -\frac{1}{K_1^2} \left[ \frac{\gamma K_1 [C_n J'_n(K_1 r) + D_n Y'_n(K_1 r)] + \frac{j k_0 n}{r} [E_n J_n(K_1 r) + F_n Y_n(K_1 r)]}{\cos n\phi} e^{-\gamma z} \right] \quad (3.31)$$

Substituindo  $E_z$  e  $H_z$  na equação (3.28) tem-se:

$$E_{\phi}^o = \frac{1}{K_1^2} \left[ \frac{1}{r} \frac{\partial^2 ([C_n J_n(K_1 r) + D_n Y_n(K_1 r)] \cos(n\phi) e^{-\gamma z})}{\partial \phi \partial z} + \frac{\partial ([E_n J_n(K_1 r) + F_n Y_n(K_1 r)] \sin(n\phi) e^{-\gamma z})}{j\omega \mu_0 \partial r} \right] \quad (3.32)$$

ou:

$$E_{\phi}^o = \frac{1}{K_1^2} \left[ \frac{\frac{n\gamma}{r} (C_n J_n(K_1 r) + D_n Y_n(K_1 r)) + j k_0 K_1 (E_n J'_n(K_1 r) + F_n Y'_n(K_1 r))}{\sin(n\phi)} e^{-\gamma z} \right] \quad (3.33)$$

Substituindo  $E_z$  e  $H_z$  na equação (3.29) tem-se:

$$H_{\phi}^o = \frac{1}{K_1^2} \left[ \frac{1}{r} \frac{\partial^2 ((E_n J_n(K_1 r) + F_n Y_n(K_1 r)) \sin(n\phi) e^{-\gamma z})}{\partial \phi \partial z} - j\omega \epsilon_0 \frac{\partial ((C_n J_n(K_1 r) + D_n Y_n(K_1 r)) \cos(n\phi) e^{-\gamma z})}{\partial r} \right] \quad (3.34)$$

ou

$$H_{\phi}^o = -\frac{1}{K_1^2} \left[ \frac{\gamma n}{r} (E_n J_n(K_1 r) + F_n Y_n(K_1 r)) + j k_0 y_0 K_1 (C_n J'_n(K_1 r) + D_n Y'_n(K_1 r)) \right] \cos(n\phi) e^{-\gamma Z} \quad (3.35)$$

Substituindo  $E_z$  e  $H_z$  na equação (3.27) tem-se:

$$H_r^o = \frac{1}{K_1^2} \left[ \frac{\partial^2 ((E_n J_n(K_1 r) + F_n Y_n(K_1 r)) \operatorname{sen}(n\phi) e^{-\gamma Z})}{\partial r \partial z} + j \omega \epsilon_0 \frac{\partial ((C_n J_n(K_1 r) + D_n Y_n(K_1 r)) \cos(n\phi) e^{-\gamma Z})}{r \partial \phi} \right] \quad (3.36)$$

ou

$$H_r^o = -\frac{1}{K_1^2} \left[ \gamma K_1 (E_n J'_n(K_1 r) + F_n Y'_n(K_1 r)) + j k_0 y_0 \frac{n}{r} (C_n J_n(K_1 r) + D_n Y_n(K_1 r)) \right] \operatorname{sen}(n\phi) e^{-\gamma Z} \quad (3.37)$$

Resumindo, os campos transversais elétrico e magnético, em coordenadas cilíndricas, para a região o são dados por:

$$E_r^o = -\frac{1}{K_1^2} \left[ \gamma K_1 [C_n J'_n(K_1 r) + D_n Y'_n(K_1 r)] + \frac{j k_0 n}{r} [E_n J_n(K_1 r) + F_n Y_n(K_1 r)] \right] \cos n\phi e^{-\gamma Z} \quad (3.38)$$

$$E_{\phi}^o = \frac{1}{K_1^2} \left[ \frac{n\gamma}{r} (C_n J_n(K_1 r) + D_n Y_n(K_1 r)) + j k_0 K_1 (E_n J'_n(K_1 r) + F_n Y'_n(K_1 r)) \right] \operatorname{sen}(n\phi) e^{-\gamma Z} \quad (3.39)$$

$$H_{\phi}^o = -\frac{1}{K_1^2} \left[ \frac{\gamma n}{r} (E_n J_n(K_1 r) + F_n Y_n(K_1 r)) + j k_0 y_0 K_1 (C_n J'_n(K_1 r) + D_n Y'_n(K_1 r)) \right] \cos(n\phi) e^{-\gamma Z} \quad (3.40)$$

$$H_r^o = -\frac{1}{K_1^2} \left[ \gamma K_1 (E_n J'_n(K_1 r) + F_n Y'_n(K_1 r)) + j k_0 y_0 \frac{n}{r} (C_n J_n(K_1 r) + D_n Y_n(K_1 r)) \right] \operatorname{sen}(n\phi) e^{-\gamma Z} \quad (3.41)$$

A partir dos campos transversais na abertura, calculam-se os campos distantes derivados das duas regiões: dentro do dielétrico anisotrópico e fora do dielétrico.

### 3.2. Campo Radiado Distante

No campo distante, em coordenadas esféricas, as seguintes aproximações são válidas [9]:

$$\begin{aligned} E_r &\cong 0 \\ E_\theta &\cong -C(L_\phi + \eta N_\theta) \\ E_\phi &\cong C(L_\theta - \eta N_\phi) \end{aligned} \quad (3.42)$$

onde:

$$C = \frac{jk_0}{4\pi r} e^{-jk_0 r} \quad (3.43)$$

e

$$k_0 = \omega \sqrt{\mu_0 \epsilon_0} = \frac{2\pi f}{c} = \frac{\omega}{c} \quad (3.44)$$

Os campos  $N_\theta$ ,  $N_\phi$ ,  $L_\theta$  e  $L_\phi$  são obtidos usando potenciais vetores e dados por:

$$N_\theta(\theta, \phi) = \int_0^{2\pi} \int_0^{r_0} \left\{ J_r \cos \theta \cos(\phi - \phi') + J_\phi \cos \theta \sin(\phi - \phi') - J_z \sin \theta \right\} e^{jkr' \sin \theta \cos(\phi - \phi')} r' dr' d\phi' \quad (3.45)$$

$$N_\phi(\theta, \phi) = \int_0^{2\pi} \int_0^{r_0} \left\{ -J_r \sin(\phi - \phi') + J_\phi \cos(\phi - \phi') \right\} e^{jkr' \sin \theta \cos(\phi - \phi')} r' dr' d\phi' \quad (3.46)$$

$$L_\theta(\theta, \phi) = \int_0^{2\pi} \int_0^{r_0} \left\{ M_r \cos \theta \cos(\phi - \phi') + M_\phi \cos \theta \sin(\phi - \phi') \right\} e^{jkr' \sin \theta \cos(\phi - \phi')} r' dr' d\phi' \quad (3.47)$$

$$L_\phi(\theta, \phi) = \int_0^{2\pi} \int_0^{r_0} \left\{ -M_r \sin(\phi - \phi') + M_\phi \cos(\phi - \phi') \right\} e^{jkr' \sin \theta \cos(\phi - \phi')} r' dr' d\phi' \quad (3.48)$$

onde, as fontes equivalentes na abertura do guia em coordenadas cilíndricas são dadas por [9,10]:

$$\vec{M}_S = -\hat{n}x\vec{E}_a = -\hat{z}x(E_r\hat{r} + E_\phi\hat{\phi} + E_z\hat{z}) = E_\phi\hat{r} - E_r\hat{\phi} = M_{Sr}\hat{r} + M_{S\phi}\hat{\phi} \quad (3.49)$$

$$\vec{J}_S = \hat{n}x\vec{H}_a = \hat{z}x(H_r\hat{r} + H_\phi\hat{\phi} + H_z\hat{z}) = -H_\phi\hat{r} + H_r\hat{\phi} = J_{Sr}\hat{r} + J_{S\phi}\hat{\phi} \quad (3.50)$$

$$J_r = -H_\phi,$$

$$J_\phi = H_r,$$

$$J_z = 0,$$

$$M_r = E_\phi,$$

$$M_\phi = -E_r,$$

$$M_z = 0 \quad (3.51)$$

A partir destas expressões pode-se, calcular os campos elétricos em coordenadas esféricas nas direções  $\hat{\theta}$  e  $\hat{\phi}$  no interior do guia cilíndrico com dielétrico anisotrópico. Separando as regiões obtém-se os campos devidos às regiões i e o e, em seguida, os campos radiados totais para o guia cilíndrico corrugado com bastão dielétrico anisotrópico.

### 3.2.1. Campo Radiado devido à Região i

Substituindo (3.45) e (3.48) em (3.42), desenvolve-se  $E_\theta$  como:

$$E_\theta(\theta, \phi) = \frac{-jke^{-jkr}}{4\pi r} \int_0^{2\pi} \int_0^{r_0} \left\{ \begin{aligned} &[-M_r \sin(\phi - \phi') + M_\phi \cos(\phi - \phi')] + \\ &\eta[J_r \cos \theta \cos(\phi - \phi') + J_\phi \cos \theta \sin(\phi - \phi')] \end{aligned} \right\} e^{jkr' \sin \theta \cos(\phi - \phi')} r' dr' d\phi' \quad (3.52)$$

Chamando:

$$I_1 = \int_0^{2\pi} \int_0^{r_0} (-M_r + \eta J_\phi \cos \theta) \sin(\phi - \phi') e^{jkr' \sin \theta \cos(\phi - \phi')} r' dr' d\phi' \quad (3.53)$$

e

$$I_2 = \int_0^{2\pi} \int_0^{r_0} (M_\phi + \eta J_r \cos \theta) \cos(\phi - \phi') e^{jkr' \sin \theta \cos(\phi - \phi')} r' dr' d\phi' \quad (3.54)$$

Substituindo (3.51) em (3.53) e (3.54), reescreve-se  $I_1$  e  $I_2$  como:

$$I_1 = \int_0^{2\pi} \int_0^{r_0} (-E_\phi + \eta H_r \cos \theta) \sin(\phi - \phi') e^{jkr' \sin \theta \cos(\phi - \phi')} r' dr' d\phi' \quad (3.55)$$

$$I_2 = \int_0^{2\pi} \int_0^{r_0} (-E_r - \eta H_\phi \cos \theta) \cos(\phi - \phi') e^{jkr' \sin \theta \cos(\phi - \phi')} r' dr' d\phi' \quad (3.56)$$

A substituição de  $E_\phi$  e  $H_r$  na Equação (3.55), permite reescrever  $I_1$  como:

$$I_1 = -\frac{1}{K^2} \left\{ \int_0^{r_1} \left[ \frac{n\gamma}{r'} A_n J_n(Kr') + j \frac{k_0}{y_0} K B_n J'_n(Kr') \right] r' dr' \right. \left. \int_0^{2\pi} \sin(n\phi') \sin(\phi - \phi') e^{jkr' \sin \theta \cos(\phi - \phi')} d\phi' \right. \\ \left. + \int_0^{r_1} \eta \cos \theta \left[ \gamma K B_n J'_n(Kr') + \frac{jk_0 y_0 \varepsilon_n n A_n}{r'} J_n(Kr') \right] r' dr' \right\} \quad (3.57)$$

Chamando

$$c_1 = (\gamma + jk_0 \varepsilon_n y_0 \eta \cos \theta) \quad (3.58)$$

e

$$c_2 = (\eta \gamma \cos \theta + j \frac{k_0}{y_0}) \quad (3.59)$$

Substituindo (3.58), (3.59) e (E.3) em (3.57), pode-se reescrever a Equação (3.57) como:

$$I_1 = -\frac{2\pi j^{n-1}}{K^2} \cos(n\phi) \int_0^{r_1} \frac{J_n(kr' \sin \theta)}{kr' \sin \theta} \left( nc_1 A_n \frac{J_n(Kr')}{r'} + c_2 B_n J'_n(Kr') \right) r' dr' \quad (3.60)$$

A substituição de  $E_r$  e  $H_\phi$  na Equação (3.56), permite reescrever  $I_2$  como:

$$I_2 = \int_0^{r_1} \int_0^{2\pi} \frac{1}{K^2} \left\{ \gamma K A_n J'_n(Kr') + jn \frac{k_0}{y_0} B_n \frac{J_n(Kr')}{r'} + \right. \\ \left. \eta \cos \theta \left( n\gamma B_n \frac{J_n(Kr')}{r'} + jk_0 y_0 K A_n J'_n(Kr') \right) \right\} \cos(n\phi') \cos(\phi - \phi') e^{jkr' \sin \theta \cos(\phi - \phi')} d\phi' r' dr' \quad (3.61)$$

Substituindo (3.58), (3.59) e (E.2) na Equação (3.61), reescreve-se  $I_2$ :

$$I_2 = \frac{2\pi}{K^2} \cos(n\phi) j^{(n-1)} \int_0^{r_1} \left\{ c_1 A_n K J'_n(Kr') + nc_2 B_n \frac{J_n(Kr')}{r'} \right\} J'_n(kr' \sin \theta) r' dr' \quad (3.62)$$

Juntando  $I_1$  e  $I_2$ :

$$I_1 + I_2 = -\frac{2\pi j^{n-1}}{K^2} \cos(n\phi) \int_0^{r_1} \frac{J_n(kr' \sin \theta)}{kr' \sin \theta} \left( nc_1 A_n \frac{J_n(Kr')}{r'} + c_2 K B_n J'_n(Kr') \right) r' dr' \\ + \frac{2\pi}{K^2} \cos(n\phi) j^{n-1} \int_0^{r_1} \left( c_1 K A_n J'_n(Kr') + nc_2 B_n \frac{J_n(Kr')}{r'} \right) J'_n(kr' \sin \theta) r' dr' \quad (3.63)$$

Pode-se reescrever o campo elétrico na direção  $\hat{\theta}$  na região interna ao dielétrico anisotrópico como:

$$E_\theta^i(\theta, \phi) \cong \frac{-jke^{-jkr}}{4\pi r K^2} 2\pi \cos(n\phi) j^{(n-1)} \left\{ \int_0^{r_1} \left( c_1 K A_n J'_n(Kr') + nc_2 B_n \frac{J_n(Kr')}{r'} \right) J'_n(kr' \sin \theta) r' dr' \right. \\ \left. - \int_0^{r_1} \frac{J_n(kr' \sin \theta)}{kr' \sin \theta} \left( nc_1 A_n \frac{J_n(Kr')}{r'} + c_2 K B_n J'_n(Kr') \right) r' dr' \right\} \quad (3.64)$$

Em seguida, desenvolvendo (3.42) para o campo na direção  $\hat{\phi}$ , substituindo (3.46) e (3.47) em (3.42), resulta:

$$E_\phi(\theta, \phi) = \frac{-jke^{-jkr}}{4\pi r} \int_0^{2\pi} \int_0^{r_1} \left\{ \left[ M_r \cos \theta \cos(\phi - \phi') + M_\phi \cos \theta \sin(\phi - \phi') \right] - \left[ \eta[-J_r \sin(\phi - \phi') + J_\phi \cos(\phi - \phi')] \right] \right\} e^{jkr' \sin \theta \cos(\phi - \phi')} r' dr' d\phi' \quad (3.65)$$

e, chamando:

$$I_3 = \int_0^{2\pi} \int_0^{r_1} (M_r \cos \theta - \eta J_\phi) \cos(\phi - \phi') e^{jkr' \sin \theta \cos(\phi - \phi')} r' dr' d\phi' \quad (3.66)$$

$$I_4 = \int_0^{2\pi} \int_0^{r_1} (M_\phi \cos \theta + \eta J_r) \sin(\phi - \phi') e^{jkr' \sin \theta \cos(\phi - \phi')} r' dr' d\phi' \quad (3.67)$$

Substituindo  $E_\phi$  e  $H_r$  em (3.66) e  $E_r$  e  $H_\phi$  em (3.67), tem-se:

$$I_3 = \int_0^{2\pi} \int_0^{r_1} (E_\phi \cos \theta - \eta H_r) \cos(\phi - \phi') e^{jkr' \sin \theta \cos(\phi - \phi')} r' dr' d\phi' \quad (3.68)$$

e

$$I_4 = \int_0^{2\pi} \int_0^{r_1} [-E_r \cos \theta - \eta H_\phi] \sin(\phi - \phi') e^{jkr' \sin \theta \cos(\phi - \phi')} r' dr' d\phi' \quad (3.69)$$

Substituindo (3.51) em (3.68) e (3.69), reescreve-se  $I_3$  e  $I_4$  como:

$$I_3 = \int_0^{r_1} \frac{1}{K^2} \left\{ \begin{aligned} & \left[ A_n \frac{n\gamma}{r'} J_n(Kr') + j \frac{k_0}{y_0} K B_n J'_n(Kr') \right] \cos \theta + \\ & \eta \left[ \gamma K B_n J'_n(Kr') + \frac{jk_0 y_0 \varepsilon_n}{r'} n A_n J_n(Kr') \right] \end{aligned} \right\} \int_0^{2\pi} \sin(n\phi) \cos(\phi - \phi') e^{jkr' \sin \theta \cos(\phi - \phi')} d\phi' r' dr' \quad (3.70)$$

e

$$I_4 = \int_0^{2\pi} \int_0^{r_1} \frac{1}{K^2} \left\{ \begin{aligned} & \left( \gamma K A_n J'_n(Kr') + \frac{jk_0}{y_0 r'} B_n J_n(Kr') \right) \cos \theta + \\ & \eta \left( \frac{n\gamma}{r'} B_n J_n(Kr') + j k_0 y_0 \varepsilon_n K A_n J'_n(Kr') \right) \end{aligned} \right\} \cos(n\phi) \sin(\phi - \phi') e^{jkr' \sin \theta \cos(\phi - \phi')} r' dr' d\phi' \quad (3.71)$$

chamando:

$$c_3 = (\gamma \cos \theta + j k_0 y_0 \varepsilon_n \eta) \quad (3.72)$$

e

$$c_4 = \left( \eta \gamma + j \frac{k_0}{y_0} \cos \theta \right) \quad (3.73)$$

Substituindo (3.72), (3.73) e (E.4) em (3.70) pode-se reescrever  $I_3$  como:

$$I_3 = -2\pi \sin(n\phi) j^{(n-1)} \int_0^{r_1} \frac{1}{K^2} \left( n c_3 A_n \frac{J_n(Kr')}{r'} + c_4 K B_n J'_n(Kr') \right) J'_n(kr' \sin \theta) r' dr' \quad (3.74)$$

Substituindo (3.72), (3.73) e (E.1) em (3.71) pode-se reescrever  $I_4$  como:

$$I_4 = -2\pi \sin n\phi j^{(n-1)} \int_0^{r_1} \frac{1}{K^2} \left( c_3 K A_n J'_n(Kr') + n c_4 B_n \frac{J_n(Kr')}{r'} \right) \frac{J_n(kr' \sin \theta)}{kr' \sin \theta} r' dr' \quad (3.75)$$

Juntando I3 e I4:

$$I_3 + I_4 = -2\pi \operatorname{sen}(n\phi) j^{(n-1)} \left\{ \int_0^{r_1} \frac{1}{K^2} \left( nc_3 A_n \frac{J_n(Kr')}{r'} + c_4 K B_n J'_n(Kr') \right) J'_n(kr' \operatorname{sen} \theta) r' dr' \right. \\ \left. + \int_0^{r_1} \frac{1}{K^2} \left( c_3 K A_n J'_n(Kr) + nc_4 B_n \frac{J_n(Kr)}{r'} \right) \frac{J_n(kr' \operatorname{sen} \theta)}{kr' \operatorname{sen} \theta} r' dr' \right\} \quad (3.76)$$

O campo elétrico na direção  $\hat{\phi}$  devido à região i é dado então, por:

$$E_\phi^i(\theta, \phi) \cong -\frac{j^n k e^{-jkr}}{2K^2 r} \operatorname{sen}(n\phi) \left\{ \int_0^{r_1} \left[ nc_3 A_n \frac{J_n(Kr')}{r'} + c_4 K B_n J'_n(Kr') \right] J'_n(kr' \operatorname{sen} \theta) r' dr' \right. \\ \left. + \int_0^{r_1} \left( c_3 K A_n J'_n(Kr) + nc_4 B_n \frac{J_n(Kr)}{r'} \right) \frac{J_n(kr' \operatorname{sen} \theta)}{kr' \operatorname{sen} \theta} r' dr' \right\} \quad (3.77)$$

Resumindo, os campos esféricos devidos à região i são dados por:

$$E_\theta^i(\theta, \phi) \cong -\frac{j^n k e^{-jkr}}{2K^2 r} \cos(n\phi) \left\{ \int_0^{r_1} \left( c_1 K A_n J'_n(Kr') + nc_2 B_n \frac{J_n(Kr')}{r'} \right) J'_n(kr' \operatorname{sen} \theta) r' dr' \right. \\ \left. - \int_0^{r_1} \left( nc_1 A_n \frac{J_n(Kr')}{r'} + c_2 K B_n J'_n(Kr') \right) \frac{J_n(kr' \operatorname{sen} \theta)}{kr' \operatorname{sen} \theta} r' dr' \right\} \quad (3.78)$$

e

$$E_\phi^i(\theta, \phi) \cong -\frac{j^n k e^{-jkr}}{2K^2 r} \operatorname{sen}(n\phi) \left\{ \int_0^{r_1} \left[ nc_3 A_n \frac{J_n(Kr')}{r'} + c_4 K B_n J'_n(Kr') \right] J'_n(kr' \operatorname{sen} \theta) r' dr' \right. \\ \left. + \int_0^{r_1} \left( c_3 K A_n J'_n(Kr) + nc_4 B_n \frac{J_n(Kr)}{r'} \right) \frac{J_n(kr' \operatorname{sen} \theta)}{kr' \operatorname{sen} \theta} r' dr' \right\} \quad (3.79)$$

com:

$$c_1 = (\gamma + jk_0 \varepsilon_{ii} y_o \eta \cos \theta) \quad (3.80)$$

$$c_2 = (\eta \gamma \cos \theta + j \frac{k_0}{y_o}) \quad (3.81)$$

$$c_3 = (\gamma \cos \theta + jk_0 y_o \varepsilon_{ii} \eta) \quad (3.82)$$

$$c_4 = \left( \eta \gamma + j \frac{k_0}{y_o} \cos \theta \right) \quad (3.83)$$

Após obter os campos devidos à região interna ao dielétrico anisotrópico, obtém-se os campos devidos à região externa, utilizando o mesmo procedimento que o utilizado para a região interna.

### 3.3. Campo Radiado devido à Região o

Para a região externa ao dielétrico anisotrópico ( $r_1 \leq r \leq r_0$ ), utilizando as Equações (3.55), (3.39) e (3.41), reescreve-se I1:

$$I_1 = - \int_0^{2\pi} \int_{r_1}^{r_2} \frac{1}{K_1^2} \left\{ \begin{aligned} & (\gamma + jk_0 \eta y_o \cos \theta) \frac{n}{r'} [C_n J_n(K_1 r') + D_n Y_n(K_1 r')] + \\ & (\eta \gamma \cos \theta + jk_0 y_o) K_1 [E_n J'_n(K_1 r') + F_n Y'_n(K_1 r')] \end{aligned} \right\} \text{sen}(n\phi') \text{sen}(\phi - \phi') e^{jkr' \text{sen} \theta \cos(\phi - \phi')} r' dr' d\phi' \quad (3.84)$$

Chamando:

$$c_5 = (\gamma + jk_0 y_o \eta \cos \theta) \quad (3.85)$$

$$c_6 = (\gamma \eta \cos \theta + jk_0 y_o) \quad (3.86)$$

Substituindo (3.85) e (3.86) e (E.3) em (3.84), reescreve-se  $I_1$  como:

$$I_1 = - \frac{2\pi j^{n-1} \cos(n\phi)}{K_1^2} \int_{r_1}^{r_2} \left\{ \begin{aligned} & \frac{nc_5}{r'} (C_n J_n(K_1 r') + D_n Y_n(K_1 r')) \\ & + c_6 K_1 (E_n J'_n(K_1 r') + F_n Y'_n(K_1 r')) \end{aligned} \right\} \frac{J_n(kr' \text{sen} \theta)}{kr' \text{sen} \theta} r' dr' \quad (3.87)$$

A partir das Equações (3.56), (3.38) e (3.40) reescreve-se  $I_2$  devido à região o:

$$I_2 = \int_0^{2\pi} \int_{r_1}^{r_2} \frac{1}{K_1^2} \left\{ \begin{aligned} & (\gamma + jk_0 y_o \eta \cos \theta) K_1 (C_n J'_n(K_1 r') + D_n Y'_n(K_1 r')) + \\ & n \left( \frac{\gamma \eta \cos \theta}{r'} + j \frac{k_0}{y_o r'} \right) (E_n J_n(K_1 r') + F_n Y_n(K_1 r')) \end{aligned} \right\} \cos(n\phi') \cos(\phi - \phi') e^{jkr' \text{sen} \theta \cos(\phi - \phi')} d\phi' r' dr' \quad (3.88)$$

Substituindo (3.85), (3.86) e (E.2) em (3.88), reescreve-se  $I_2$ :

$$I_2 = \frac{2\pi \cos(n\phi) j^{(n-1)}}{K_1^2} \int_{r_1}^{r_2} \left\{ \begin{aligned} & c_5 K_1 (C_n J'_n(K_1 r') + D_n Y'_n(K_1 r')) \\ & + \frac{nc_6}{r'} (E_n J_n(K_1 r') + F_n Y_n(K_1 r')) \end{aligned} \right\} J'_n(kr' \text{sen} \theta) r' dr' \quad (3.89)$$

Juntando  $I_1$  e  $I_2$  devido à região o, tem-se:

$$I_1 + I_2 = \frac{2\pi j^{n-1} \cos(n\phi)}{K_1^2} \left\{ \begin{array}{l} \int_{r_1}^{r_2} \left[ c_5 K_1 (C_n J_n'(K_1 r') + D_n Y_n'(K_1 r')) + \right. \\ \left. \frac{nc_6}{r'} (E_n J_n(K_1 r') + F_n Y_n(K_1 r')) \right] J_n'(kr' \sin \theta) r' dr' \\ - \int_{r_1}^{r_2} \left[ \frac{nc_5}{r'} (C_n J_n(K_1 r') + D_n Y_n(K_1 r')) + \right. \\ \left. c_6 K_1 (E_n J_n'(K_1 r') + F_n Y_n'(K_1 r')) \right] \frac{J_n(kr' \sin \theta)}{kr' \sin \theta} r' dr' \end{array} \right\} \quad (3.90)$$

O campo elétrico na direção  $\hat{\theta}$  devido à região o é dado por:

$$E_{\theta o}(\theta, \phi) \cong -\frac{j^n k e^{-jkr}}{2K_1^2 r} \cos(n\phi) \left\{ \begin{array}{l} \int_{r_1}^{r_2} \left[ c_5 K_1 (C_n J_n'(K_1 r') + D_n Y_n'(K_1 r')) + \right. \\ \left. \frac{nc_6}{r'} (E_n J_n(K_1 r') + F_n Y_n(K_1 r')) \right] J_n'(kr' \sin \theta) r' dr' \\ - \int_{r_1}^{r_2} \left[ \frac{nc_5}{r'} (C_n J_n(K_1 r') + D_n Y_n(K_1 r')) + \right. \\ \left. c_6 K_1 (E_n J_n'(K_1 r') + F_n Y_n'(K_1 r')) \right] \frac{J_n(kr' \sin \theta)}{kr' \sin \theta} r' dr' \end{array} \right\} \quad (3.91)$$

Através de  $I_3$  e  $I_4$ , desenvolvidos na Seção 3.2.1 (Equações (3.70) e (3.71)), junto com as Equações (3.38), (3.39), (3.40) e (3.41), obtém-se o campo elétrico na direção  $\hat{\phi}$  devido à região o:

$$I_3 = \int_{r_1}^{r_2} \frac{1}{K_1^2} \left\{ \begin{array}{l} (\gamma \cos \theta + j k_0 y_0 \eta) \frac{n}{r'} [C_n J_n(K_1 r') + D_n Y_n(K_1 r')] + \\ + \left( \eta y_0 \gamma + j \frac{k_0}{y_0} \cos \theta \right) K_1 [E_n J_n'(K_1 r') + F_n Y_n'(K_1 r')] \end{array} \right\} \int_0^{2\pi} \sin(n\phi') \cos(\phi - \phi') e^{jkr' \sin \theta \cos(\phi - \phi')} d\phi' r' dr' \quad (3.92)$$

e

$$I_4 = \int_0^{2\pi} \int_{r_1}^{r_2} \frac{1}{K_1^2} \left\{ \begin{array}{l} K_1 (\gamma \cos \theta + j k_0 y_0 \eta) [C_n J_n'(K_1 r') + D_n Y_n'(K_1 r')] + \\ (n\gamma y_0 \eta + j \frac{k_0}{y_0} n \cos \theta) \frac{1}{r'} [E_n J_n(K_1 r') + F_n Y_n(K_1 r')] \end{array} \right\} (\cos n\phi') \sin(\phi - \phi') e^{jkr' \sin \theta \cos(\phi - \phi')} d\phi' r' dr' \quad (3.93)$$

Chamando:

$$c_7 = (\gamma \cos \theta + j k_0 y_0 \eta) \quad (3.94)$$

$$c_8 = \left( \eta y_0 \gamma + j \frac{k_0}{y_0} \cos \theta \right) \quad (3.95)$$

Então, substituindo (3.94), (3.95) e (E.4) em (3.92) e (3.94), (3.95) e (E.1) em (3.93), reescreve-se  $I_3$  e  $I_4$  respectivamente, como:

$$I_3 = -\frac{2\pi \operatorname{sen}(n\phi) j^{(n-1)}}{K_1^2} \int_{r_1}^{r_2} \left[ \frac{nc_7}{r'} [C_n J_n(K_1 r') + D_n Y_n(K_1 r')] + c_8 K_1 [E_n J'_n(K_1 r') + F_n Y'_n(K_1 r')] \right] J'_n(kr' \operatorname{sen} \theta) r' dr' \quad (3.96)$$

$$I_4 = -\frac{2\pi \operatorname{sen}(n\phi) j^{(n-1)}}{K_1^2} \int_{r_1}^{r_2} \left\{ c_7 K_1 [C_n J'_n(K_1 r') + D_n Y'_n(K_1 r')] + \frac{nc_8}{r'} (E_n J_n(K_1 r') + F_n Y_n(K_1 r')) \right\} \frac{J_n(kr' \operatorname{sen} \theta)}{kr' \operatorname{sen} \theta} r' dr' \quad (3.97)$$

Juntando  $I_3$  e  $I_4$ :

$$I_3 + I_4 = \frac{1}{K_1^2} \int_{r_1}^{r_2} \left( \frac{nc_7}{r'} (C_n J_n(K_1 r') + D_n Y_n(K_1 r')) + c_8 K_1 (E_n J'_n(K_1 r') + F_n Y'_n(K_1 r')) \right) J'_n(kr' \operatorname{sen} \theta) r' dr' + \quad (3.98)$$

$$+ \frac{1}{K_1^2} \int_{r_1}^{r_2} \left( c_7 K_1 (C_n J'_n(K_1 r') + D_n Y'_n(K_1 r')) + \frac{nc_8}{r'} (E_n J_n(K_1 r') + F_n Y_n(K_1 r')) \right) \frac{J_n(kr' \operatorname{sen} \theta)}{kr' \operatorname{sen} \theta} r' dr'$$

Obtém-se o campo elétrico na direção  $\hat{\phi}$ , devido à região o:

$$E_\phi^o(\theta, \phi) \cong -j^n k e^{-jkr} \frac{\operatorname{sen}(n\phi)}{2K_1^2 r} \left\{ \int_{r_1}^{r_2} \left( \frac{nc_7}{r'} (C_n J_n(K_1 r') + D_n Y_n(K_1 r')) + c_8 K_1 (E_n J'_n(K_1 r') + F_n Y'_n(K_1 r')) \right) J'_n(kr' \operatorname{sen} \theta) r' dr' + \right. \quad (3.99)$$

$$\left. \int_{r_1}^{r_2} \left( c_7 K_1 (C_n J'_n(K_1 r') + D_n Y'_n(K_1 r')) + \frac{nc_8}{r'} (E_n J_n(K_1 r') + F_n Y_n(K_1 r')) \right) \frac{J_n(kr' \operatorname{sen} \theta)}{kr' \operatorname{sen} \theta} r' dr' \right\}$$

Resumindo, os campos elétricos devidos à região o são dados por:

$$E_\theta^o(\theta, \phi) \cong -\frac{j^n k e^{-jkr} \cos(n\phi)}{2K_1^2 r} \left\{ \int_{r_1}^{r_2} \left[ c_5 K_1 (C_n J'_n(K_1 r') + D_n Y'_n(K_1 r')) + \frac{nc_6}{r'} (E_n J_n(K_1 r') + F_n Y_n(K_1 r')) \right] J'_n(kr' \operatorname{sen} \theta) r' dr' \right. \quad (3.100)$$

$$\left. - \int_{r_1}^{r_2} \left[ \frac{nc_5}{r'} (C_n J_n(K_1 r') + D_n Y_n(K_1 r')) + c_6 K_1 (E_n J'_n(K_1 r') + F_n Y'_n(K_1 r')) \right] \frac{J_n(kr' \operatorname{sen} \theta)}{kr' \operatorname{sen} \theta} r' dr' \right\}$$

e

$$E_\phi^o(\theta, \phi) \cong -\frac{j^n k e^{-jkr} \operatorname{sen}(n\phi)}{2K_1^2 r} \left\{ \int_{r_1}^{r_2} \left[ \frac{nc_7}{r'} (C_n J_n(K_1 r') + D_n Y_n(K_1 r')) + c_8 K_1 (E_n J'_n(K_1 r') + F_n Y'_n(K_1 r')) \right] J'_n(kr' \operatorname{sen} \theta) r' dr' + \right. \quad (3.101)$$

$$\left. \int_{r_1}^{r_2} \left[ c_7 K_1 (C_n J'_n(K_1 r') + D_n Y'_n(K_1 r')) + \frac{nc_8}{r'} (E_n J_n(K_1 r') + F_n Y_n(K_1 r')) \right] \frac{J_n(kr' \operatorname{sen} \theta)}{kr' \operatorname{sen} \theta} r' dr' \right\}$$

com

$$c_5 = (\gamma + jk_0 y_0 \eta \cos \theta) \quad (3.102)$$

$$c_6 = \left( \frac{\gamma \eta \cos \theta}{r'} + j \frac{k_0}{y_0 r'} \right) \quad (3.103)$$

$$c_7 = (\gamma \cos \theta + jk_0 y_0 \eta) \quad (3.104)$$

$$c_8 = (\gamma y_0 \eta + j \frac{k_0}{y_0} \cos \theta) \quad (3.105)$$

### 3.3.1. Campo Radiado devido à Abertura Completa

Após calcular os campos radiados distante devidos às regiões interna e externa ao dielétrico anisotrópico, obtém-se os campos radiados distantes, somando-se os campos devidos às regiões interna e externa. Ou seja, o campo geral radiado devido à abertura será dado por:

$$E_{\theta rad}(\theta, \phi) = E_{\theta}^i(\theta, \phi) + E_{\theta}^o(\theta, \phi) \quad (3.106)$$

e

$$E_{\phi rad}(\theta, \phi) = E_{\phi}^i(\theta, \phi) + E_{\phi}^o(\theta, \phi) \quad (3.107)$$

Ou, substituindo as Equações (3.78) e (3.100) na Equação (3.106), obtém-se:

$$E_{\theta rad}(\theta, \phi) = \frac{-j^n k e^{-jkr}}{2r} \cos(n\phi) \left\{ \frac{1}{K^2} \left[ \int_0^{r_1} \left( c_1 K A_n J_n(Kr') + n c_2 B_n \frac{J_n(Kr')}{r'} \right) J_n'(kr' \sin \theta) r' dr' \right. \right. \\ \left. \left. - \int_0^{r_1} \left( n c_1 A_n \frac{J_n(Kr')}{r'} + c_2 K B_n J_n'(Kr') \right) \frac{J_n(kr' \sin \theta)}{kr' \sin \theta} r' dr' \right] + \right. \\ \left. + \frac{1}{K_1^2} \left[ \int_{r_1}^{r_2} \left( c_5 K_1 (C_n J_n'(K_1 r') + D_n Y_n'(K_1 r')) + \right. \right. \right. \\ \left. \left. \frac{n c_6}{r'} (E_n J_n(K_1 r') + F_n Y_n(K_1 r')) \right) J_n'(kr' \sin \theta) r' dr' \right. \\ \left. - \int_{r_1}^{r_2} \left( \frac{n c_5}{r'} (C_n J_n(K_1 r') + D_n Y_n(K_1 r')) + \right. \right. \\ \left. \left. c_6 K_1 (E_n J_n'(K_1 r') + F_n Y_n'(K_1 r')) \right) \frac{J_n(kr' \sin \theta)}{kr' \sin \theta} r' dr' \right] \right\} \quad (3.108)$$

E, substituindo as Equações (3.79) e (3.102) na Equação (3.107), obtém-se:

$$E_{\phi rad}(\theta, \phi) = -\frac{j^n k e^{-jkr}}{2r} \text{sen}(n\phi) \left\{ \begin{array}{l} \frac{1}{K^2} \left\{ \int_0^{\eta} \left( nc_3 A_n \frac{J_n(Kr')}{r'} + c_4 K B_n J'_n(Kr') \right) J'_n(kr' \text{sen } \theta) r' dr' \right\} + \\ \int_0^{\eta} \left( c_3 K A_n J'_n(Kr) + nc_4 B_n \frac{J_n(Kr)}{r'} \right) \frac{J_n(kr' \text{sen } \theta)}{kr' \text{sen } \theta} r' dr' \right\} + \\ \frac{1}{K_1^2} \left\{ \int_{r_1}^{r_2} \left( \frac{nc_7}{r'} (C_n J_n(K_1 r') + D_n Y_n(K_1 r')) + \right. \right. \\ \left. \left. c_8 K_1 (E_n J'_n(K_1 r') + F_n Y'_n(K_1 r')) \right) J'_n(kr' \text{sen } \theta) r' dr' + \right. \\ \left. \int_{r_1}^{r_2} \left( c_7 K_1 (C_n J'_n(K_1 r') + D_n Y'_n(K_1 r')) + \right. \right. \\ \left. \left. \frac{nc_8}{r'} (E_n J_n(K_1 r') + F_n Y_n(K_1 r')) \right) \frac{J_n(kr' \text{sen } \theta)}{kr' \text{sen } \theta} r' dr' \right\} \end{array} \right\} \quad (3.109)$$

com:

$$c_1 = (\gamma + jk_0 \varepsilon_{ii} y_o \eta \cos \theta) \quad (3.110)$$

$$c_2 = (\eta \gamma \cos \theta + j \frac{k_0}{y_o}) \quad (3.111)$$

$$c_3 = (\gamma \cos \theta + jk_0 y_o \varepsilon_{ii} \eta) \quad (3.112)$$

$$c_4 = \left( \eta \gamma + j \frac{k_0}{y_o} \cos \theta \right) \quad (3.113)$$

$$c_5 = (\gamma + jk_0 y_o \eta \cos \theta) \quad (3.114)$$

$$c_6 = \left( \frac{\gamma \eta \cos \theta}{r'} + j \frac{k_0}{y_o r'} \right) \quad (3.115)$$

$$c_7 = (\gamma \cos \theta + jk_0 y_o \eta) \quad (3.116)$$

$$c_8 = (\gamma y_o \eta + j \frac{k_0}{y_o} \cos \theta) \quad (3.117)$$

Os campos radiados são reescritos, em função de  $A_n$ :

$$E_{\theta rad}(\theta, \phi) = -\frac{j^n k e^{-jkr}}{2r} A_n \cos(n\phi) \left\{ \begin{array}{l} \frac{1}{K^2} \left\{ \int_0^{\eta} \left( c_1 K J'_n(Kr') + nc_2 M \frac{J_n(Kr')}{r'} \right) J'_n(kr' \text{sen } \theta) r' dr' \right\} + \\ - \int_0^{\eta} \left( nc_1 \frac{J_n(Kr')}{r'} + c_2 K M J'_n(Kr') \right) \frac{J_n(kr' \text{sen } \theta)}{kr' \text{sen } \theta} r' dr' \right\} + \\ \frac{1}{K_1^2} \left\{ \int_{r_1}^{r_2} \left( c_5 K_1 (N J'_n(K_1 r') + P Y'_n(K_1 r')) + \right. \right. \\ \left. \left. \frac{nc_6}{r'} (-Q J_n(K_1 r') - L Y_n(K_1 r')) \right) J'_n(kr' \text{sen } \theta) r' dr' \right. \\ \left. - \int_{r_1}^{r_2} \left( \frac{nc_5}{r'} (N J_n(K_1 r') + P Y_n(K_1 r')) + \right. \right. \\ \left. \left. c_6 K_1 (-Q J'_n(K_1 r') - L Y'_n(K_1 r')) \right) \frac{J_n(kr' \text{sen } \theta)}{kr' \text{sen } \theta} r' dr' \right\} \end{array} \right\} \quad (3.118)$$

e

$$E_{\phi_{rad}}(\theta, \phi) = -\frac{j^n k e^{-jk r}}{2r} A_n \sin(n\phi) \left\{ \frac{1}{K^2} \left[ \int_0^{r_1} \left( nc_3 \frac{J_n(Kr')}{r'} + c_4 K M J'_n(Kr') \right) J'_n(kr' \sin \theta) r' dr' \right] + \int_0^{r_1} \left( c_3 K J'_n(Kr) + nc_4 M \frac{J_n(Kr)}{r'} \right) \frac{J_n(kr' \sin \theta)}{kr' \sin \theta} r' dr' \right\} + \left\{ \frac{1}{K_1^2} \left[ \int_{r_1}^{r_2} \left( \frac{nc_7}{r'} (NJ_n(K_1 r') + PY_n(K_1 r')) + c_8 K_1 (-QJ'_n(K_1 r') - LY'_n(K_1 r')) \right) J'_n(kr' \sin \theta) r' dr' + \int_{r_1}^{r_2} \left( c_7 K_1 (NJ'_n(K_1 r') + PY'_n(K_1 r')) + \frac{nc_8}{r'} (-QJ_n(K_1 r') - LY_n(K_1 r')) \right) \frac{J_n(kr' \sin \theta)}{kr' \sin \theta} r' dr' \right] \right\} \quad (3.119)$$

Com L, M, N, P e Q dados pelas Equações do Apêndice D.

Após serem realizados estudos com o guia cilíndrico corrugado com núcleo dielétrico anisotrópico, cuja análise paramétrica é apresentada no Capítulo 5, são realizados estudos com corneta cônica corrugada com aproximação por fase esférica, os quais são apresentados na Seção 3.3.

### 3.4.

#### Campo Radiado Distante para Corneta (Aproximação por fase esférica)

##### 3.4.1.

##### Introdução

Muitos alimentadores usados com antenas refletoras possuem a forma de cornetas cônicas ou possuem uma região cônica, mesmo que a região de abertura seja cilíndrica [5]. Para cornetas com semi-ângulo de abertura pequenos, na faixa entre 6° a 15°, a corneta se comporta como um guia cilíndrico, mas uma correção deve ser feita para a variação de fase esférica através da abertura da corneta. Este procedimento, explorado por Parini and Olver [5], permite caracterizar o campo na abertura muito precisamente desde que harmônicos no espaço possam ser descritos em um guia cilíndrico. A partir do campo na abertura, o campo radiado pode ser obtido utilizando potenciais vetores, técnica utilizada neste trabalho.

Para cornetas com semi-ângulos de abertura entre 10° e 80°, pode-se aproximar os campos na corneta e na abertura pelos modos esféricos, permitindo que o diagrama de radiação seja obtido pela integração sobre a

superfície de fase esférica ou por meios de uma expansão. Dois métodos são apresentados na literatura: o método de expansão de onda esférica, desenvolvido por Clarricoats, Saha and Olver [5] e sua extensão desenvolvida por Mahmoud and Clarricoats [5]; e o método Laguerre-Gaussian desenvolvido por Bitter and Aubry [5]. O último método é útil quando um radiador corrugado faz parte de um sistema refletor múltiplo projetado usando aproximações de feixe Gaussiano [5].

Cornetas com semi-ângulo de abertura pequeno e grande abertura são mais simples de serem projetadas, pois, o grande diâmetro torna a corneta muito menos sensível à polarização cruzada e aos problemas de conversão de modos. Cornetas de abertura pequena possuem um desempenho que é estritamente determinado pelo diâmetro da abertura, com desempenho dependente da frequência e da presença da *flange* na abertura da corneta [5].

Com a correção de fase esférica, os nulos do campo co-polar são preenchidos. Para ângulos maiores do que  $20^\circ$ , os padrões de radiação se tornam função, principalmente, do ângulo de abertura (*flare*) e não do diâmetro da abertura. A fase esférica faz com que a energia radiada do centro da abertura esteja fora de fase com a energia radiada próximo à borda da abertura, sendo mantidas as frequências constantes [5].

Neste capítulo é obtido o campo radiado distante para uma corneta cilíndrica corrugada com dielétrico anisotrópico com as mesmas especificações do guia descrito no Capítulo 2 e desenvolvido anteriormente. É explorado o método de aproximação por fase esférica, devido a sua grande simplicidade, o qual adiciona um termo à equação do campo representando a fase esférica [4]. Esta aproximação fornece bons resultados para pequenos semi-ângulos de abertura da corneta, sendo o ângulo escolhido para a análise neste trabalho  $12^\circ$  devido a este fato.

### 3.4.2.

#### **Corneta Cônica Corrugada com Núcleo Dielétrico Anisotrópico**

O método de aproximação por capa esférica utiliza as expressões dos campos na abertura do guia cilíndrico corrugado com núcleo dielétrico adicionadas a um fator de fase esférica que representa a influência do ângulo *flare* finito. Estes campos são então, integrados para a obtenção do campo distante. A Figura 3.1 apresenta uma vista lateral de uma corneta

com parede corrugada, com as configurações geométricas utilizadas neste trabalho.

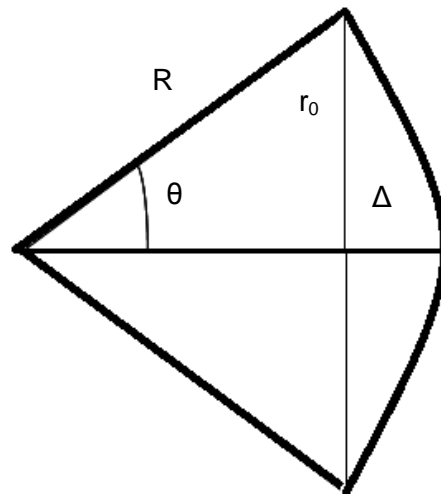


Figura 3.1 - Vista lateral de uma corneta cônica corrugada, onde  $r_0$  varia com o ângulo de abertura,  $\theta$  e  $R = r_0/\text{sen}\theta$ .

O fator de fase esférica pode ser simulado na abertura, multiplicando o campo elétrico na abertura por um fator de fase. Os campos através da abertura de uma corneta são gerados por ondas esféricas com a origem no eixo. As ondas esféricas podem ser aproximadas na abertura por ondas planas com um fator de fase esférica adicional  $\Delta$  para considerar o caminho extra a ser percorrido pelas ondas em um ponto arbitrário X na abertura [4,5]. Este fator é obtido pela Figura 3.1 e o termo a ser multiplicado é  $e^{jk\Delta}$ , com:

$$\Delta = R(1 - \cos \theta) \quad (3.120)$$

ou

$$\Delta = r_0 \frac{1 - \cos \theta}{\text{sen}\theta} = r_0 \tan \frac{\theta}{2} \approx \frac{r_0^2}{2R} \quad (3.121)$$

onde,  $r_0$  é o raio da corneta na abertura,  $R$  é o comprimento da corneta,  $\theta$  é o ângulo formado entre o eixo e a lateral da corneta (semi-ângulo de abertura). Esta aproximação é válida para pequenos ângulos de abertura [4,5].

Em seguida, são obtidas as expressões para o campo radiado total na abertura da corneta com a inclusão do semi-ângulo. As Equações para os campos nas direções  $\theta$  e  $\phi$  são dadas por:

$$E_{\theta rad}(\theta, \phi) = \frac{-j^n k e^{-jkr}}{2r} A_n \cos(n\phi) \left\{ \frac{1}{K^2} \left[ \int_0^{\eta_1} \left( c_1 K J'_n(Kr') + nc_2 M \frac{J_n(Kr')}{r'} \right) J'_n(kr' \sin \theta) e^{-jk\Delta r'} dr' \right] + \right. \quad (3.122)$$

$$\left. \frac{1}{K_1^2} \left[ \int_{r_1}^{r_2} \left( c_3 K_1 (NJ'_n(K_1 r') + PY'_n(K_1 r')) + \frac{nc_6}{r'} (-QJ'_n(K_1 r') - LY'_n(K_1 r')) \right) J'_n(kr' \sin \theta) e^{-jk\Delta r'} dr' \right] + \right.$$

$$\left. \frac{1}{K_1^2} \left[ \int_{r_1}^{r_2} \left( \frac{nc_5}{r'} (NJ_n(K_1 r') + PY_n(K_1 r')) + c_6 K_1 (-QJ'_n(K_1 r') - LY'_n(K_1 r')) \right) \frac{J_n(kr' \sin \theta)}{kr' \sin \theta} e^{-jk\Delta r'} dr' \right] \right\}$$

$$E_{\phi rad}(\theta, \phi) = -\frac{j^n k e^{-jkr}}{2r} A_n \sin(n\phi) \left\{ \frac{1}{K^2} \left[ \int_0^{\eta_1} \left( nc_3 \frac{J_n(Kr')}{r'} + c_4 K M J'_n(Kr') \right) J'_n(kr' \sin \theta) e^{-jk\Delta r'} dr' \right] + \right. \quad (3.123)$$

$$\left. \frac{1}{K_1^2} \left[ \int_{r_1}^{r_2} \left( \frac{nc_7}{r'} (NJ_n(K_1 r') + PY_n(K_1 r')) + c_8 K_1 (-QJ'_n(K_1 r') - LY'_n(K_1 r')) \right) J'_n(kr' \sin \theta) e^{-jk\Delta r'} dr' + \right.$$

$$\left. \int_{r_1}^{r_2} \left( c_7 K_1 (NJ'_n(K_1 r') + PY'_n(K_1 r')) + \frac{nc_8}{r'} (-QJ_n(K_1 r') - LY_n(K_1 r')) \right) \frac{J_n(kr' \sin \theta)}{kr' \sin \theta} e^{-jk\Delta r'} dr' \right] \right\}$$

com  $c_1$  a  $c_8$  dados por (3.100) a (3.117),  $A_n = 1, L, M, N, P$  e  $Q$  dados pelas Equações do Apêndice D.

Com estas Equações, são realizadas as simulações apresentadas no Capítulo 5.

### 3.5.

#### Caso Particular: Simulação do Guia Anisotrópico com Anisotropia criada a partir da Técnica de Perfuração do Bastão Dielétrico

Foram efetuadas várias simulações do guia Anisotrópico com anisotropia criada a partir da técnica de perfuração do bastão dielétrico introduzida no Capítulo 2 [8]. Nesta Seção é apresentado um caso utilizando um dielétrico com permissividade muito alta, no caso o alumina cerâmica [8] com  $\epsilon_r = 10,3$ , perfurando-o no sentido axial com diversas configurações de furos, chegando a um valor com 450 furos de 4 mm de diâmetro cada, obtendo-se um material com anisotropia simulada de  $\epsilon_z = 3,745$  e  $\epsilon_t = 2,737$ . Estes valores foram obtidos considerando-se um cilindro de área  $A_{\text{cilindro}} = \pi(d_c/2)^2$  e a área do furo sendo dada por  $A_F = \pi(d_f/2)^2$ .

A Figura 3.2 apresenta as curvas de dispersão para os principais modos (EH11 e HE11) para o material isotrópico de permissividade relativa igual a

3,745 e do material anisotrópico simulado ( $\epsilon_z = 3,745$  e  $\epsilon_t = 2,737$ ). A permissividade de 3,745 pode ser obtida com os seguintes materiais: *Cross linked poly styrene / ceramic powder-filled*, *Silicone resin ceramic powder-filled*, *air with rexolite standoffs fused quartz* [8].

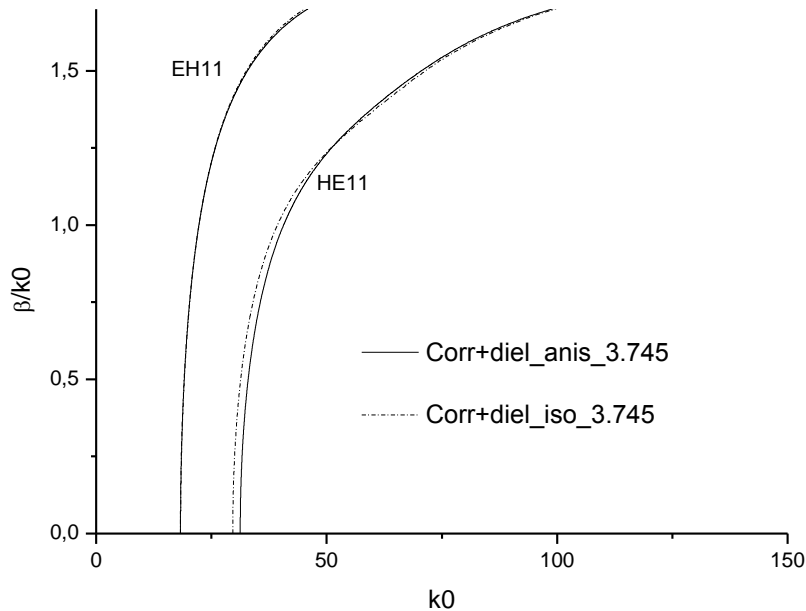


Figura 3.2 - Curvas de dispersão simuladas. Guia cilíndrico corrugado com dielétrico isotrópico perfurado para simular anisotropia:  $\epsilon_r = 10,3$  (alumina cerâmica), com  $r_1 = 50,54$  mm,  $r_0 = 63,17$  mm e profundidade de corrugação  $d = 8$  mm. Anisotropia criada inserindo 450 furos axiais, com diâmetro  $\phi = 4$  mm, no dielétrico, resultando em  $\epsilon_t = 2,745$  e  $\epsilon_z = 3,745$ . Dielétrico isotrópico  $\epsilon_r = 3,745$ .

Verificou-se na Figura 3.2 que as curvas do dielétrico isotrópico de permissividade igual a 3,745 e do dielétrico com anisotropia obtida a partir das perfurações no dielétrico isotrópico com permissividade elevada ( $\epsilon_r = 10,3$ ) ficaram praticamente iguais, ocorrendo um aumento na frequência de corte do modo HE11 para o caso anisotrópico.

Os padrões de radiação para os dois casos analisados são apresentados na Figura 3.3, onde é verificado que a presença da anisotropia trouxe um incremento de aproximadamente 3 dB na polarização cruzada. O campo radiado com polarização direta apresentou valor de lóbulo secundário menor para o caso anisotrópico.

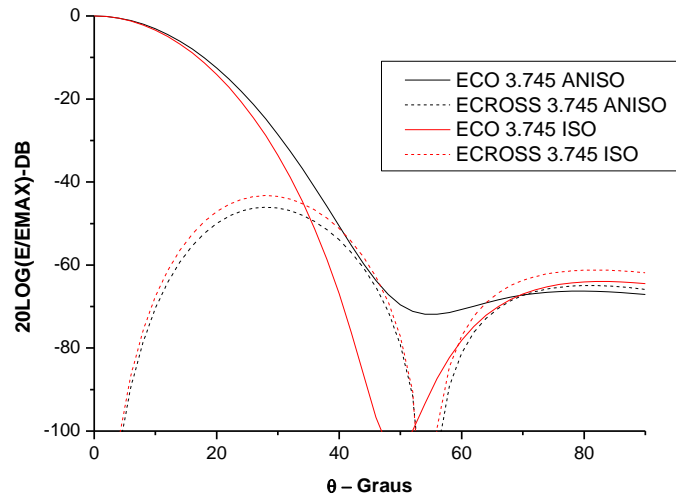


Figura 3.3 - Padrões de radiação para o guia cilíndrico corrugado com dielétrico isotrópico e com dielétrico anisotrópico, com  $r_1 = 50,54$  mm,  $r_0 = 63,17$  mm e profundidade de corrugação  $d = 8$  mm. Anisotropia criada inserindo 450 furos axiais, com diâmetro  $\phi = 4$  mm, no dielétrico isotrópico com permissividade  $\epsilon_r = 10,3$ , resultando em anisotropia com  $\epsilon_1 = 2,745$  e  $\epsilon_2 = 3,745$ . Dielétrico isotrópico  $\epsilon_r = 3,745$ .

Em seguida, foram realizadas várias simulações para obter o campo na abertura de diversas configurações, as quais são apresentadas no Capítulo 4.